

ЭФФЕКТЫ ПОЛЯРИЗАЦИИ ФОТОНОВ В НЕЛИНЕЙНОМ КОМПТОНОВСКОМ ПРОЦЕССЕ

А. И. Титов

Объединенный институт ядерных исследований, Дубна

Анализируется поляризация фотона отдачи (γ') в нелинейном комптоновском процессе $e + \mathbf{L} \rightarrow \gamma' + e'$ в кинематических условиях эксперимента LUXE. Полученные результаты могут быть использованы в планируемых экспериментах на создаваемых высокоинтенсивных лазерных установках.

The polarization of recoil photon (γ') in the nonlinear Compton process $e + \mathbf{L} \rightarrow \gamma' + e'$ in the line with envisaged LUXE experiment is analyzed. The results obtained can be used in planned experiments with the high-intensity lasers.

PACS: 12.20.Ds; 13.40.-f; 23.20.Nx

ВВЕДЕНИЕ

Исследование взаимодействия ультрарелятивистских электронов с интенсивными лазерными пучками представляется актуальным и привлекает большое внимание как теоретиков, так и экспериментаторов. Прекрасный анализ теоретических исследований в этой области и возможных ожиданий от создаваемых экспериментальных установок дан в недавнем обзоре [1], см. также [2]. Важной частью этих исследований является нелинейное комптоновское рассеяние (nlCo) и нелинейное образование e^+e^- -пар в процессе Брейта–Уиллера (nlBW), когда пробная частица, электрон или фотон, соответственно, взаимодействует с высокоинтенсивным электромагнитным (лазерным) фоновым полем. Оба процесса в прошлом были тщательно исследованы теоретически и затем переосмыслены и развиты в [3–16]. В большинстве случаев в качестве фонового поля рассматривается поле высокоинтенсивного оптического лазера. Например, известный эксперимент E-144 [17] в SLAC, готовящийся европейский эксперимент LUXE [18], а также запланированные эксперименты в Стэндфорде (США) E-320 и FACET II/SLAC [19–21]. Об экспериментах с рентгеновскими лазерами см. [22].

В процессе nlBW для образования электрон-позитронной пары с использованием оптического лазера необходим пробный фотон (γ') с энергией в десятки гигаэлектронвольт. Таким фотоном может быть фотон отдачи в нелинейном комптоновском процессе при взаимодействии ультрарелятивистского электрона с оптическим лазером. Возможная схема

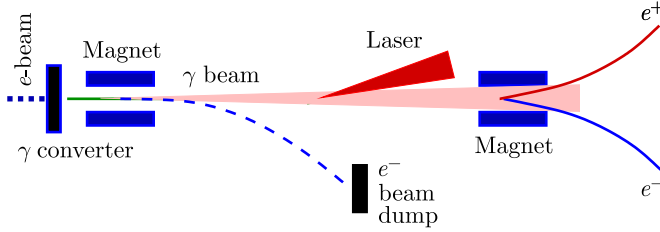


Рис. 1. Схема эксперимента LUXE, позаимствованная из проекта [18]

эксперимента (европейского эксперимента LUXE) изображена на рис. 1. Рассмотрение процесса nlCo с учетом поляризации фотона отдачи (γ') является целью данной работы.

Мы используем следующие обозначения. Интенсивность электромагнитного фонового поля определяется безразмерным параметром $\xi = |e|\mathcal{E}/(m\omega)$, где \mathcal{E} — напряженность электрического поля, ω — частота лазерного импульса, $-|e|$ и m — заряд и масса электрона.

Четырехвекторы $p = (E_e, \mathbf{p})$ и $p' = (E'_e, \mathbf{p}')$ обозначают четырехмоменты начального и конечного («голых») электронов соответственно; $q = (q_0, \mathbf{q})$ и $q' = (q'_0, \mathbf{q}')$ обозначают четырехмоменты «одетых» электронов [24] соответственно. Например, $q = p - k(\xi^2 m^2/4k \cdot p)$, где $k = (\omega, \mathbf{k})$ обозначает четырехимпульс фотона пучка с $\mathbf{k} = \mathbf{z}\omega$.

Четырехимпульс фотона отдачи с частотой ω' равен $k' = (\omega', \mathbf{k}')$, где $\mathbf{k}' = \omega'(\mathbf{x} \sin \theta \cos \varphi + \mathbf{y} \sin \theta \sin \varphi + \mathbf{z} \cos \theta)$, θ и φ описывают полярный и азимутальный углы вылета γ' соответственно.

Мы также используем квантовый параметр нелинейности $\chi = \xi(k \times p)/m^2$. Предполагается, что лазерный пучок поляризован вдоль оси \mathbf{x} . Мы используем натуральные единицы с $c = \hbar = 1$, и $e^2/4\pi = \alpha \approx 1/137,036$.

Вероятность образования e^+e^- -пар в процессе nlBW с линейно поляризованными фотонами зависит от кинематики (квадрата полной энергии в системе центра масс, s), ξ и взаимной поляризации фотонов. Так, например, при сверхинтенсивных электромагнитных полях с $\xi \gg 1$ асимметрия выхода электрон-позитронных пар $\mathcal{A} = (W_\perp - W_\parallel)/(W_\perp + W_\parallel)$, где W_\perp , W_\parallel есть вероятность выходов e^+e^- -пар при взаимно перпендикулярной или параллельной начальной поляризации фотонов, соответственно, изменяется от $1/3$ до $1/5$ [4], в зависимости от параметра $\kappa = \xi s/2m^2$. При небольших интенсивностях с $\xi \lesssim 1$ асимметрия является немонотонной функцией и изменяется от нуля до единицы, в зависимости от начальных кинематических условий [23]. Поэтому взаимная линейная поляризация фотонов является важным условием для нелинейного процесса Брейта–Уиллера, и для этого нужно знать поляризацию комптоновского фотона.

В нелинейном комптоновском процессе поляризационную матрицу плотности ρ^f фотона отдачи можно выразить через амплитуду процесса [25]

$$M = \sum_a e'_a {}^* M(a), \quad (1)$$

где e'_a — единичный поляризационный вектор, следующим образом:

$$\rho_{ab}^f = \frac{M(a)M^*(b)}{\sum_a |M(a)|^2}. \quad (2)$$

Соответствующие параметры Стокса ξ_i^f определяются как

$$\xi_i^f = \text{Sp}(\rho^f \sigma_i), \quad (3)$$

где σ_i — матрица Паули. Таким образом, параметр ξ_3^f равен асимметрии

$$\xi_3^f = \mathcal{A} \equiv \frac{|M(1)|^2 - |M(2)|^2}{|M(1)|^2 + |M(2)|^2}. \quad (4)$$

Знак \mathcal{A} , плюс или минус, указывает направление поляризации фотона γ' относительно осей e'_1 или e'_2 соответственно. Степень поляризации \mathcal{P}_{12} относительно осей 1 или 2 связана с асимметрией как

$$\mathcal{P}_{12} = \frac{1 \pm \mathcal{A}}{2}. \quad (5)$$

Данная работа по духу близка к ранней работе [6] и недавним [7, 8]. По сравнению с [6] сейчас мы уделяем специальное внимание кинематике эксперимента LUXE и другим планируемым экспериментам. Кроме того, мы анализируем влияние структуры лазерного пучка с конечным числом осцилляций, являющегося фоновым полем. Различие с работами [7, 8] состоит в некоторых технических деталях, таких как выбор осей поляризации, использование асимметрии \mathcal{A} как важной наблюдаемой и различие в методе расчета амплитуды процесса для конечного (ограниченного) лазерного пучка, обсуждаемое в тексте. Кроме того, мы уделяем особое внимание азимутальным распределениям дифференциальных сечений, которые необходимы для получения информации о направлении и степени поляризации фотонов отдачи.

Наша работа организована следующим образом. В разделе «Нелинейный комптоновский процесс» приведены основные формулы для поперечных сечений и асимметрии и представлены результаты для случаев $\xi \leq 1$ и $\xi \gg 1$. Заключение дано в последнем разделе.

НЕЛИНЕЙНЫЙ КОМПТОНОВСКИЙ ПРОЦЕСС

Как указывалось выше, мы рассматриваем nlCo как процесс, включающий одновременное участие большого числа лазерных фотонов. Наше рассмотрение основано на представлении Фарри. Здесь мы дадим вы-

ражение для сечений и асимметрии как функций частоты ω' и азимутального угла φ . Исследование будет проведено в широком интервале интенсивности ξ . Энергия начального фотона $E_e = 16,5$ ГэВ и частота оптического лазера $\omega = 1,55$ эВ выбраны в соответствии с экспериментом LUXE [18].

Поперечные сечения и асимметрия для $\xi \leq 1$. Линейно поляризованное фоновое поле описывается электромагнитным четырехпотенциалом $A(\phi) = (0, \mathbf{A}(\phi))$:

$$\mathbf{A}(\phi) = f(\phi)[\mathbf{a} \cos \phi], \quad (6)$$

где $\phi = k \cdot x$ есть инвариантная фаза, а $\mathbf{a} = \mathbf{x}m\xi/e$, $f(\phi)$ — огибающая лазерного импульса с конечным числом осцилляций. Для определенности огибающая лазерного импульса $f(\phi)$ выбрана в виде гиперболического секанса: $f(\phi) = 1/[\text{ch } \phi/\Delta]$. Безразмерная величина Δ определяет размер импульса $2\Delta = 2\pi N$, где N имеет смысл числа осцилляций в лазерном импульсе и связано с длительностью импульса $\tau_N = 2N/\omega$ (о зависимости наблюдаемых от структуры огибающей см., например, [9, 14]). Рассмотрим вначале монохроматическое плосковолновое фоновое поле (PW) с $f(\phi) = 1$.

Матричный элемент перехода определяется как

$$S = \frac{i}{\sqrt{2\omega'} 2q_0 2q'_0} \sum_{\ell=1}^{\infty} M_{\ell} (2\pi)^4 \delta^4(q + \ell k - q' - k'), \quad (7)$$

где ℓ — число лазерных фотонов, участвующих в процессе, и

$$M_{\ell} = \bar{u}_{p'} \left[\not{\epsilon}'^* A_0(\ell) + \left(\frac{e}{2k \cdot p} \not{\epsilon}'^* \not{k} \not{\phi} + \frac{e}{2k \cdot p'} \not{\phi} \not{k} \not{\epsilon}'^* \right) A_1(\ell) - \frac{e^2 \alpha^2 (k \cdot e'^*)}{2k \cdot p k \cdot p'} \not{k} A_2(\ell) \right] u_p. \quad (8)$$

Здесь u_p — дираковские спиноры, нормированные как $(\bar{u}u) = 2m$, базисные функции $A_m(\ell) \equiv A_m(\ell, \alpha', \beta)$ определены следующим образом [3]:

$$A_m(\ell, \alpha', \beta) = \frac{1}{2\pi} \int_{-\pi}^{\pi} d\phi \cos^m \phi \exp(i\ell\phi - i\alpha' \sin \phi + i\beta \sin 2\phi), \quad (9)$$

где

$$\alpha' = z \cos \varphi, \quad \beta = \xi^3 u / 8\chi, \quad u = kk' / kp', \quad (10)$$

$$z = \frac{2\ell\xi}{\sqrt{1 + \xi^2/2}} \sqrt{\frac{u}{u_1} \left(1 - \frac{u}{u_1}\right)}, \quad u_1 = \frac{2l\chi}{\xi(1 + \xi^2/2)}. \quad (11)$$

Четырехвекторы e'_i выбраны в виде [24]

$$e'_i = (0, e'_i), \quad (12)$$

где $e'_{1,2}$ взаимно ортогональны и ортогональны к k' : $e'_{1,2} \perp k'$. Оси e'_i выбраны в соответствии с [25]:

$$e'_1 = \frac{[k, k']}{|[k, k']|}, \quad e'_2 = \frac{[k', e'_1]}{|k'|}, \quad (13)$$

приводящими к

$$\begin{aligned} e'_1 &= -\mathbf{x} \sin \varphi + \mathbf{y} \cos \varphi, \\ e'_2 &= -\mathbf{x} \cos \theta \cos \varphi - \mathbf{y} \cos \theta \sin \varphi + \mathbf{z} \sin \theta. \end{aligned} \quad (14)$$

При обратном рассеянии с $\cos \theta = -1$ (backward scattering) в компланарной геометрии с $\varphi = 0$ ось e'_1 параллельна оси \mathbf{y} , т. е. перпендикулярна поляризации лазерного пучка, а ось e'_2 параллельна оси \mathbf{x} , т. е. параллельна поляризации пучка.

Вероятность выхода γ' при фиксированных поляризациях равна сумме квадратов матричных элементов $\sum |M_\ell|^2 / 2VT$, умноженной на фазовый фактор частиц в конечном состоянии. Вероятность выхода в переменных φ и ω' определяется интегрированием фазового объема по $d^3 q'$:

$$\delta^4(\ell k + q - q' - k') \frac{d^3 q' d^3 k'}{q'_0 k'_0} \rightarrow \frac{d\varphi d\omega'}{|\mathbf{q} - \ell k_0|}.$$

Соответствующие поперечные сечения определяются путем умножения вероятностей на потоковый фактор $(4\pi\alpha/m^2\xi^2)(q_0/p \cdot kN_0)$, где $N_0 = 1/2$ соответствует бесконечно длинному импульсу. Для импульсов с конечным числом осцилляций $N_0 = \Delta/2\pi(1 + 1/3\Delta^2) \approx \Delta/2\pi$ при $\Delta/\pi \gg 1$.

Квадрат матричного элемента для фиксированных e'_1 и e'_2 вычисляется стандартным образом с использованием калибровочного преобразования [4, 27] $e' \rightarrow \bar{e}'_i = e'_i - k'(e'_i \cdot k)/(k' \cdot k)$ и соотношения [3]

$$\alpha' A_1 = (\ell - \beta) A_0 + 4\beta A_2. \quad (15)$$

Как результат, «парциальные» поперечные сечения $d^2\sigma_{1,2}$, усредненные и просуммированные по спиновым проекциям электронов в начальном и конечном состояниях соответственно, имеют следующий вид:

$$\begin{aligned} d^2\sigma_1 &= \frac{2\alpha^2 d\varphi d\omega'}{\xi\chi m^2 N_0} \sum_{l=1}^{\infty} \frac{1}{|\mathbf{q} - l\omega|} \times \\ &\times \left[\xi^2 A_1^2 \sin^2 \varphi + \xi^2 \frac{u^2}{4(1+u)} (A_1^2 - A_0 A_2) \right], \quad (16) \end{aligned}$$

$$d^2\sigma_2 = \frac{2\alpha^2 d\varphi d\omega'}{\xi\chi m^2 N_0} \sum_{\ell=1}^{\infty} \frac{1}{|\mathbf{q} - l\omega|} \left[-A_0^2 - \xi^2 A_1^2 \sin^2 \varphi + \right. \\ \left. + \xi^2 \left(1 + \frac{u^2}{4(1+u)} (A_1^2 - A_0 A_2) \right) \right]. \quad (17)$$

Сумма $d^2\sigma \equiv d^2\sigma_1 + d^2\sigma_2$ (с $N_0 = 1/2$) является известным выражением для поперечного сечения неполяризованного pCo

$$d^2\sigma = \frac{4\alpha^2 d\varphi d\omega'}{\xi m^2 \chi} \sum_{l=1}^{\infty} \frac{1}{|\mathbf{q} - l\omega|} \times \\ \times \left[-A_0^2 + \xi^2 \left(1 + \frac{u^2}{2(1+u)} (A_1^2 - A_0 A_2) \right) \right]. \quad (18)$$

Различие в $d^2\sigma_{1,2}$ приводит к асимметрии (см. (4))

$$\mathcal{A}(\varphi, \omega') = \frac{d^2\sigma_1 - d^2\sigma_2}{d^2\sigma}. \quad (19)$$

Знак асимметрии \mathcal{A} , плюс или минус, определяет направление поляризации γ' относительно осей \mathbf{e}'_1 или \mathbf{e}'_2 соответственно. Степень поляризации определяется в соответствии с соотношением (5). Напоминаем, что асимметрия \mathcal{A} равна спиновой переменной фотона отдачи γ' , ξ_3^f .

В случае конечного лазерного импульса матричный элемент перехода представляется в терминах точного решения уравнения Дирака с электромагнитным четырехпотенциалом (6) (решение Волкова). Предэкспоненциальный и экспоненциальный факторы, содержащие линейные и квадратичные комбинации потенциала $A(\phi)$, формируют новые базисные функции \tilde{A}_m :

$$\tilde{A}_m(\ell) = \frac{1}{2\pi} \int_{-\infty}^{\infty} d\phi f^m(\phi) \cos^m \phi e^{i\ell\phi - i\mathcal{P}(\phi)}, \quad (20)$$

где

$$\mathcal{P}(\phi) = \tilde{\alpha}(\phi) - \tilde{\beta}(\phi), \quad (21)$$

$$\tilde{\alpha}(\phi) = \alpha' \int_{-\infty}^{\phi} d\phi' f(\phi') \cos \phi', \quad (22)$$

$$\tilde{\beta}(\phi) = 4\beta \int_{-\infty}^{\phi} d\phi' f^2(\phi') \cos^2 \phi',$$

$$z = 2\xi\ell \sqrt{\frac{u}{u_\ell} \left(1 - \frac{u}{u_\ell} \right)}, \quad u_\ell = 2\ell\chi/\xi. \quad (23)$$

Величины α' и β определены в (10). Функция $\tilde{A}_0(\ell)$ регуляризуется стандартным образом (см., например, [28]), что приводит к условию

$$\alpha' \tilde{A}_1(\ell) = \ell \tilde{A}_0(\ell) + 4\beta \tilde{A}_2(\ell). \quad (24)$$

Дифференциальные сечения $d^2\sigma_i$ имеют форму выражений (16), (17) с заменой $\int_{\ell_{\min}}^{\infty} d\ell$, где нижний предел интегрирования равен $\ell_{\min} = um^2/2k \cdot p$, и заменой $A_m \rightarrow \tilde{A}_m$

$$d^2\sigma_1 = \frac{2\alpha^2 d\varphi d\omega'}{\xi \chi m^2 E_e N_0} \int_{\ell_{\min}}^{\infty} d\ell \left[\xi^2 \tilde{A}_1^2 \sin^2 \varphi + \xi^2 \frac{u^2}{4(1+u)} (\tilde{A}_1^2 - \tilde{A}_0 \tilde{A}_2) \right], \quad (25)$$

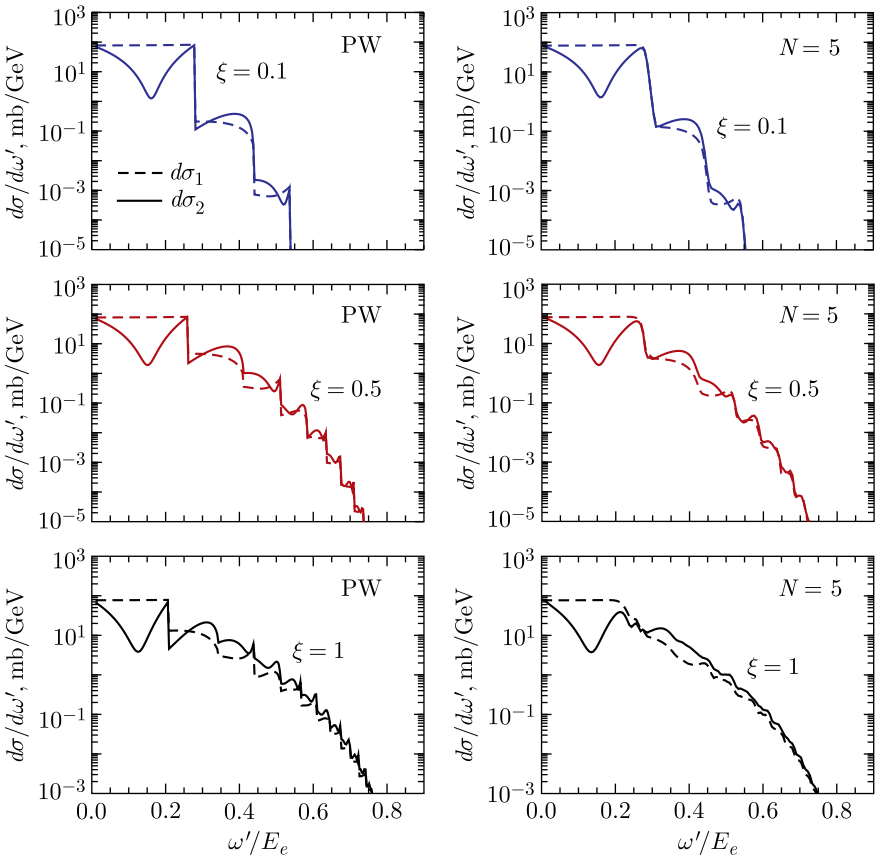


Рис. 2. Парциальные поперечные сечения $d\sigma_{1,2}/d\omega'$ как функции ω' для монохроматического плосковолнового (PW) (слева) и конечного лазерного импульса (справа) соответственно

$$d^2\sigma_2 = \frac{2\alpha^2 d\varphi d\omega'}{\xi\chi m^2 E_e N_0} \int_{\ell_{\min}}^{\infty} d\ell \left[-\tilde{A}_0^2 - \xi^2 \tilde{A}_1^2 \sin^2 \varphi + \xi^2 \left(1 + \frac{u^2}{4(1+u)} (\tilde{A}_1^2 - \tilde{A}_0 \tilde{A}_2) \right) \right], \quad (26)$$

где использовано соотношение $|\mathbf{q} - l\omega| \simeq |\mathbf{p}| \simeq E_e$. Неполаризованное поперечное сечение определено как

$$d^2\sigma = d^2\sigma_1 + d^2\sigma_2. \quad (27)$$

Наше рассмотрение ограничим импульсами с числом осцилляций $N = 5$ и интенсивностью электромагнитного импульса $\xi = 0,1, 0,5$ и 1 . Пар-

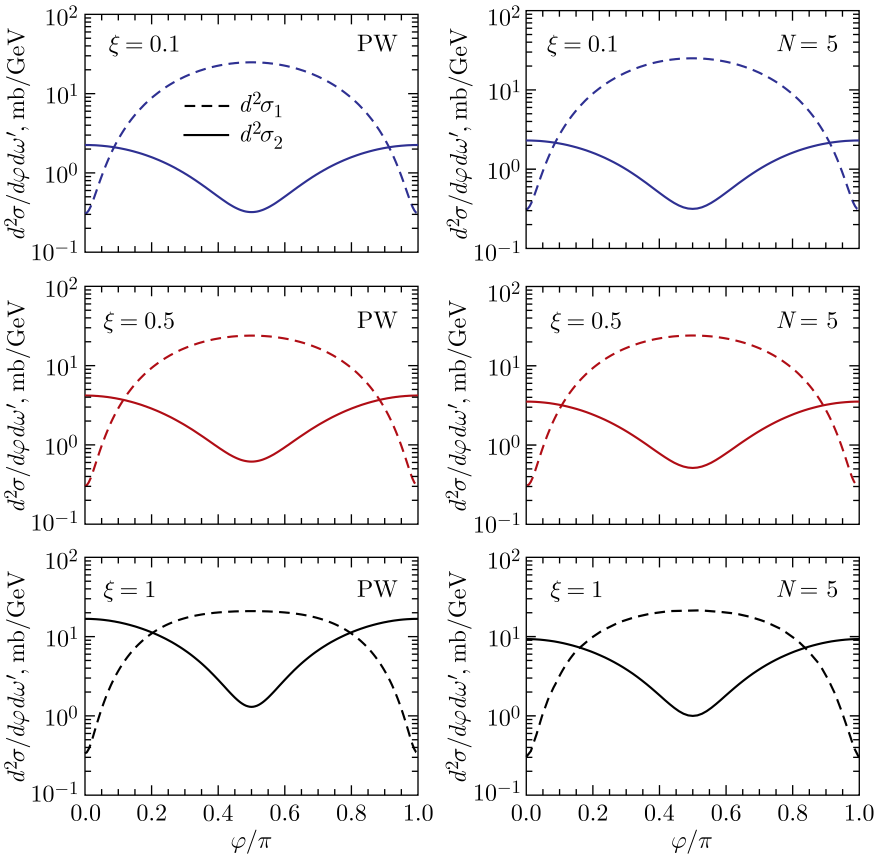


Рис. 3. Парциальные поперечные сечения $d\sigma_{1,2}/d\omega'$ как функции азимутального угла φ для монохроматического плосковолнового (PW) (слева) и конечного лазерного импульса (справа) соответственно при $\omega' = 0,2E_e$

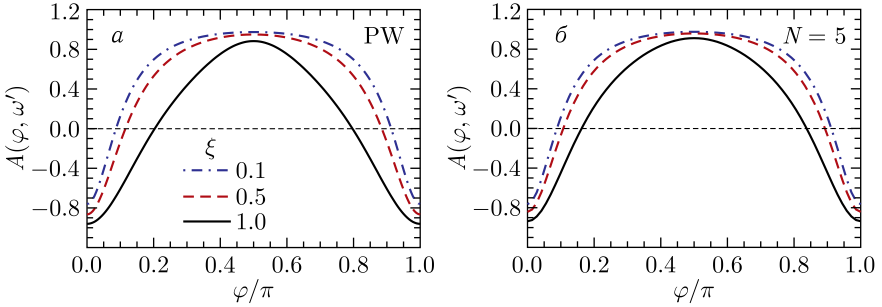


Рис. 4. а) Асимметрия как функция азимутального угла φ при $\omega' = 0,2E_e$ для различных ξ в монохроматическом плосковолновом приближении; б) асимметрия для конечного импульса с $N = 5$

циальные поперечные сечения $d\sigma_i/d\omega'$ в плосковолновом приближении (PW) и для случая конечного импульса с $N = 5$ представлены в левых и правых колонках рис.2 соответственно. Видно, что качественно результат для конечного импульса близок к результату в плосковолновом приближении. В этом случае поперечные сечения являются более плавными функциями от ω' .

То же самое справедливо и для азимутальных распределений дифференциальных поперечных сечений, представленных на рис.3, и асимметрий, изображенных на рис.4.

Суммируя сказанное, можем заключить, что результат для конечного импульса качественно близок к результатам, полученным в плосковолновом приближении т.е. фотон отдачи γ' поляризован в направлении поляризации лазерного пучка. Степень поляризации в окрестности $\varphi = 0, (\pi)$, $\mathcal{P} = (1 - A)/2 \simeq 0,95$.

Высокая интенсивность импульса, $\xi \gg 1$. При (сверх) высоких интенсивностях импульса $\xi \gg 1$ основной вклад в сечение дает центральная часть лазерного импульса, и окончательный результат не зависит от формы и размера пучка [9, 12, 13]. Поэтому в дальнейшем анализе мы используем формализм, развитый Никишовым и Ритусом [3] с включением поляризации γ' . В этом случае парциальные $d^2\sigma_i$ и неполяризованное $d^2\sigma$ поперечные сечения имеют вид

$$d^2\sigma_1 = \frac{4\alpha^2 d\varphi d\omega'}{m^2\xi\chi E_e} \int_{\ell_{\min}}^{\infty} dl \left[\xi^2 \widehat{A}_1^2 \sin^2 \varphi + \xi^2 \frac{u^2}{4(1+u)} \left(\widehat{A}_1^2 - \widehat{A}_0 \widehat{A}_2 \right) \right], \quad (28)$$

$$d^2\sigma_2 = \frac{4\alpha^2 d\varphi d\omega'}{m^2\xi\chi E_e} \int_{\ell_{\min}}^{\infty} dl \left[-\widehat{A}_0^2 - \xi^2 \widehat{A}_1^2 \sin^2 \varphi + \xi^2 \left(1 + \frac{u^2}{4(1+u)} \left(\widehat{A}_1^2 - \widehat{A}_0 \widehat{A}_2 \right) \right) \right], \quad (29)$$

$$d^2\sigma = d^2\sigma_1 + d^2\sigma_2, \quad (30)$$

где $\ell_{\min} = u\xi(1 + \xi^2/2)/2\chi$.

Билинейные комбинации \hat{A}_k выражаются через функции Эйри Φ и их производные Φ' как

$$\begin{aligned} \hat{A}_0^2 &= \frac{g^2}{2\pi^2} \Phi^2(y), \quad g^2 = \frac{4}{\xi^2 \sin^2 \psi} \frac{\sigma}{y}, \\ \hat{A}_1^2 &= \frac{g^2}{2\pi^2} \left(\rho^2 \Phi^2(y) + \frac{\sigma}{\xi^2 y} \Phi'^2(y) \right), \\ \hat{A}_0 \hat{A}_2 &= \frac{g^2}{2\pi^2} \left(\rho^2 - \frac{\sigma}{\xi^2} \right) \Phi^2(y), \end{aligned} \quad (31)$$

где аргумент функций Эйри y выражается через вспомогательные переменные $\rho = \cos \psi$, τ и σ как

$$\begin{aligned} y &= \left(\frac{u}{2\chi \sin \psi} \right)^{2/3} \sigma, \quad \sigma = 1 + \tau^2, \\ \rho^2 &= \frac{1}{\xi^2} \left(1 + \frac{\xi^2}{2} \right) \left(\frac{u_\ell}{u} - 1 \right) \cos^2 \varphi, \\ \tau^2 &= \left(1 + \frac{\xi^2}{2} \right) \left(\frac{u_\ell}{u} - 1 \right) \sin^2 \varphi, \end{aligned} \quad (32)$$

где $u_\ell = 2\ell\chi/\xi(1 + \xi^2/2)$.

Парциальные поперечные сечения $d\sigma_i/d\omega'$, проинтегрированные по азимутальному углу φ как функции от ω' для $\xi = 5$ и 50 , представлены на рис. 5, а. Видно, что $d\sigma_2 > d\sigma_1$. Однако этого обстоятельства недостаточно для определения ориентации спина γ' . Для этой цели на рис. 5, б представлены парциальные сечения как функции азимутального угла для $\omega'/E_e = 0,6$. В области $\varphi = 0, \pi$, $d^2\sigma_2 \gg d^2\sigma_1$, что соответствует ($A \sim -1$), или выстраиванию поляризации γ' вдоль поляризации пучка.

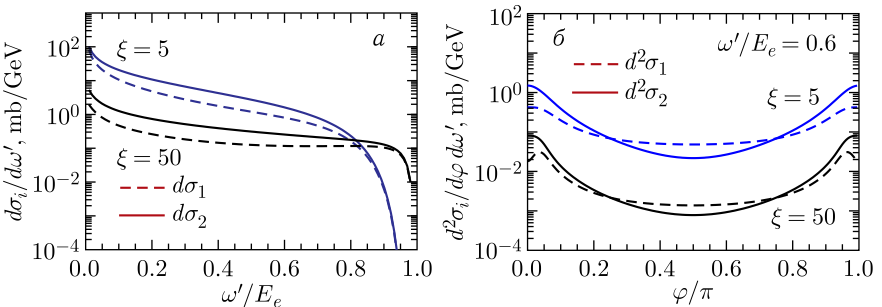


Рис. 5. а) Парциальные поперечные сечения $d\sigma_i/d\omega'$ а) как функции от ω' для $\xi = 5$ и 50 , б) как функции от азимутального угла φ при $\omega' = 0,6E_e$

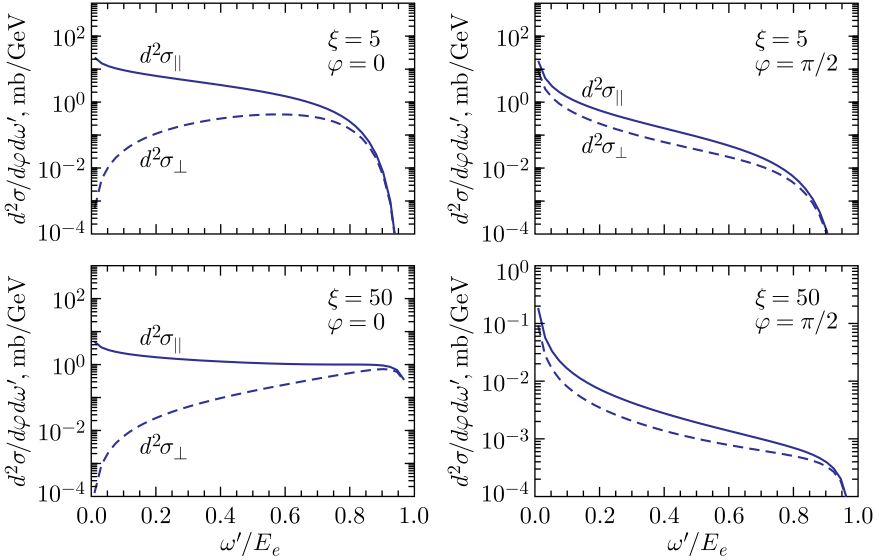


Рис. 6. Парциальные сечения $d^2\sigma_a/d\varphi d\omega'$, где $a = \parallel, \perp$, как функция ω' для $\xi = 5$ (вверху) и 50 (внизу) соответственно. Левые и правые колонки соответствуют азимутальному углу $\varphi = 0$ и $\pi/2$

Степень поляризации $\mathcal{P} \simeq 0,9$. Эта область дает основной вклад в полное сечение.

Для иллюстрации на рис. 6 приведены парциальные дифференциальные поперечные сечения $d^2\sigma_a/d\varphi d\omega'$, где $a = \parallel, \perp$. Индекс $a = \parallel, \perp$ соответствует ориентации поляризации γ' параллельно или перпендикулярно поляризации пучка. В компланарной геометрии с $\varphi = 0$, $\sigma_{\parallel, \perp} = \sigma_{2,1}$ для $\varphi = \pi/2$, $\sigma_{\parallel, \perp} = \sigma_{1,2}$. В обоих случаях γ' поляризованы вдоль поляризации лазерного пучка.

ЗАКЛЮЧЕНИЕ

Таким образом, мы проанализировали поляризацию фотона отдачи γ' в нелинейном комптоновском рассеянии. Оси поляризации фотона $\mathbf{e}'_{1,2}$ выбраны в соответствии с (13). Поляризация фотона отдачи определяется асимметрией \mathcal{A} , которая равна спиновому параметру ξ_3^f . Начальная поляризация лазерного пучка выбрана вдоль оси x . Расчет проведен в кинематике планируемого эксперимента LUXE, т.е. энергия электрона $E_e = 16,5$ ГэВ, оптический лазер с частотой $1,55$ эВ в широком диапазоне ξ .

Результат проведенного исследования показал, что при малых интенсивностях поля с $\xi < 1$ и $\omega'/E_e \simeq 0,2$ асимметрия $\mathcal{A}(\varphi, \omega')$ является по абсолютной величине большой, асимметрия отрицательна или положи-

тельна для $\varphi = 0$ или $\varphi = \pi/2$ соответственно, что указывает на то, что фотон отдачи поляризован вдоль осей \mathbf{e}'_2 или \mathbf{e}'_1 соответственно. В обоих случаях фотон отдачи γ' поляризован вдоль поляризации лазерного пучка, а степень поляризации близка к единице.

Лазерный импульс с ограниченным числом осцилляций качественно не меняет результат, полученный для импульса с бесконечным числом осцилляций (плосковолновое приближение).

Относительно нашего подхода для конечного импульса следует отметить: он, несмотря на прозрачность и обоснованность, включает вычисление многократных интегралов с быстро осциллирующими функциями, что требует значительных вычислительных ресурсов, особенно для большого числа осцилляций N и больших интенсивностей ξ . Тем не менее наша модель может быть использована как тест для приближенных подходов, таких как local-constant-field approximation (LCFA) [4, 12] или «locally monotonic» approximation (LMA) [13].

При сверхвысоких интенсивностях $\xi \gg 1$ асимметрия $\mathcal{A}(\varphi, \omega')$ отрицательна (положительна) при $\varphi = 0$ ($\pi/2$). В обоих случаях фотон отдачи γ' поляризован вдоль поляризации лазерного пучка и степень поляризации близка к единице.

В нашем рассмотрении оси поляризации выбраны в форме (12), (13). Другой выбор приведет к отличной зависимости наблюдаемых как функции азимутального угла. Тем не менее основные выводы, например, о направлении и степени поляризации в работе [7] с другим выбором поляризационных осей близки к нашим.

Отметим предпочтительную конфигурацию эксперимента по образованию e^+e^- -пар в двухэтапном электрон-лазерном взаимодействии с линейно поляризованными лазерными пучками. Первый и второй этапы — это процессы $n\text{LSO}$ и $n\text{LBW}$ соответственно (см. рис. 1). Взаимная поляризация лазерных пучков на двух этапах должна быть взаимно перпендикулярна, что ведет к усилению выхода e^+e^- -пар [3, 23].

СПИСОК ЛИТЕРАТУРЫ

1. Fedotov A., Ilderton A., Karbstein F., King B., Seipt D., Taya H., Torgrimsson G. Advances in QED with Intense Background Fields // Phys. Rep. 2023. V. 1010. P. 1–138; arXiv:2203.00019v2 [hep-ph].
2. Di Piazza A., Müller C., Hatsagortsyan K. Z., Keitel C. H. Extremely High-Intensity Laser Interactions with Fundamental Quantum Systems // Rev. Mod. Phys. 2012. V. 84. P. 1177.
3. Nikishov A. I., Ritus V. I. Quantum Processes in Field of a Plane Electromagnetic Wave and a Constant Field // Sov. Phys. JETP. 1964. V. 19. P. 529.
4. Ritus V. I. Quantum Effects of the Interaction of Elementary Particles with an Intense Electromagnetic Field // J. Sov. Laser Res. 1985. V. 6, No. 5. P. 497.
5. Goldman I. I., Khoze V. A. On Polarization Effects in Compton Scattering on Relativistic Electrons // Phys. Lett. B. 1969. V. 29. P. 426; Polarization Effects in Compton Scattering by Relativistic Electrons // ZhETF. 1969. V. 57. P. 918.

6. *Ivanov D. Yu., Kotkin G. L., Serbo V. G.* Complete Description of Polarization Effects in Emission of a Photon by an Electron in the Field of a Strong Laser Wave // *Eur. Phys. J. C.* 2004. V. 36. P. 127; arXiv:0501263 [hep-ph].
7. *Seipt D., King B.* Spin- and Polarization-Dependent Locally-Constant-Field-Approximation Rates for Nonlinear Compton and Breit–Wheeler Processes // *Phys. Rev. A.* 2020. V. 102, No. 5. P. 052805; arXiv:2007.11837 [physics.plasm-ph].
8. *King B., Tang S.* Nonlinear Compton Scattering of Polarized Photons in Plane-Wave Backgrounds // *Phys. Rev. A.* 2020. V. 102, No. 2. P. 022809; arXiv:2003.01749 [hep-ph].
9. *Titov A. I., Kämpfer B., Takabe H., Hosaka A.* Breit–Wheeler Process in Very Short Electromagnetic Pulses // *Phys. Rev. A.* 2013. V. 87. P. 042106.
10. *Di Piazza A.* Unveiling the Transverse Formation Length of Nonlinear Compton Scattering // *Phys. Rev. A.* 2021. V. 103, No. 1. P. 012215; arXiv:2009.00526 [hep-ph].
11. *Ilderton A., King B., Tang S.* Toward the Observation of Interference Effects in Nonlinear Compton Scattering // *Phys. Lett. B.* 2020. V. 804. P. 135410; arXiv:2002.04629 [physics.atom-ph].
12. *Di Piazza A., Tamburini M., Meuren S., Keitel C. H.* Implementing Nonlinear Compton Scattering beyond the Local-Constant-Field Approximation // *Phys. Rev. A.* 2018. V. 98. P. 012134.
13. *Heinzl T., King B., MacLeod A. J.* The Locally Monochromatic Approximation to QED in Intense Laser Fields // *Phys. Rev. A.* 2020. V. 102. P. 0163110; arXiv:2004.13035 [hep-ph].
14. *Titov A. I., Kämpfer B., Hosaka A., Takabe H.* Quantum Processes in Short and Intensive Electromagnetic Fields // *Phys. Part. Nucl.* 2016. V. 47. P. 456.
15. *Granz L. F., Mathiak O., Villalba-Chavez S., Muller C.* Electron–Positron Pair Production in Oscillating Electric Fields with Double-Pulse Structure // *Phys. Lett. B.* 2019. V. 793. P. 85; arXiv:1903.06000 [physics.plasm-ph].
16. *Acosta U. H., Kämpfer B.* Strong-Field QED in Furry-Picture Momentum-Space Formulation: Ward Identities and Feynman Diagrams. arXiv:2303.12941.
17. *Burke D. L. et al.* Positron Production in Multiphoton Light-by-Light Scattering // *Phys. Rev. Lett.* 1997. V. 79. P. 1626;
Bamber C. et al. Studies of Nonlinear QED in Collisions of 46.6 GeV Electrons with Intense Laser Pulses // *Phys. Rev. D.* 1999. V. 60. P. 092004.
18. *Abramowicz H. et al.* Conceptual Design Report for the LUXE Experiment // *Eur. Phys. J. ST.* 2021. V. 230. P. 2445–2560; <https://doi.org/10.1140/epjs/s11734-021-00249-z>.
19. *Meuren S. (FACET-II SFQED Collab.).* Probing Strong-Field QED at FACET-II (SLAC E-320). https://conf.slac.stanford.edu/facet-2-2019/sites/facet-2-2019.conf.slac.stanford.edu/files/basic-page-docs/sfqed_2019.pdf; <https://facet-ii.slac.stanford.edu/proposals/accepted-proposals>. 2019.
20. *Meuren S. et al.* On Seminal HEDP Research Opportunities Enabled by Colocating Multi-Petawatt Laser with High-Density Electron Beams. arXiv:2002.10051 [physics.plasm-ph].
21. *San Miguel P. et al.* Commissioning and First Measurements of the Initial X-Ray and γ -Ray Detectors at FACET-II. <https://arxiv.org/pdf/2310.05535.pdf>; arXiv:2310.05535 [physics.acc-ph].

22. European X-Ray Free-Electron Laser Facility GmbH. https://www.xfel.eu/science/index_eng.html/;
Yu Qiqi, Xu Dirui, Shen Baipei, Cowan Th.E., Schlenvoigt H.-P. X-Ray Polarimetry and Its Application to Strong-Field QED // High Power Laser Science Engin. 2023. V. 11. P. e71.
23. *Titov A. I., Kämpfer B.* Nonlinear Breit–Wheeler Process with Linearly Polarized Beams // Eur. Phys. J. D. 2020. V. 74. P. 218; arXiv:2006.04496 [hep-ph].
24. *Berestetskii V. B., Lifshitz E. M., Pitaevskii L. P.* Quantum Electrodynamics. V. 4. Butterworth–Heinemann, 1982.
25. *Akhiezer A. I., Berestetsky V. B.* Quantum Electrodynamics. Revised ed. Intersci. Publ., 1965.
26. *Titov A. I., Otto A., Kämpfer B.* Multi-Photon Regime of Nonlinear Breit–Wheeler and Compton Processes in Short Linearly and Circularly Polarized Laser Pulses // Eur. Phys. J. D. 2020. V. 74. P. 39;
Hernandez U., Otto A., Kämpfer B., Titov A. I. Nonperturbative Signature of Nonlinear Compton Scattering // Phys. Rev. D. 2020. V. 102. P. 116016.
27. *Greiner W., Reinhard J.* Quantum Electrodynamics. 3rd ed. Berlin; Heidelberg; New York: Springer-Verlag, 2014.
28. *Boca M., Florescu V.* Non-Linear Compton Scattering with a Laser Pulse // Phys. Rev. A. 2009. V. 80. P. 053403; Erratum // Phys. Rev. A. 2010. V. 81. P. 039901.
29. *Titov A. I., Hernandez U., Kämpfer B.* Positron Energy Distribution in a Factorized Trident Process // Phys. Rev. A. 2021. V. 104. P. 062811.